



**Departamentul de Chimie Organica  
Universitatea Babes-Bolyai  
Cluj-Napoca, 400028  
ROMANIA**

**Teza de doctorat**

**DESIGN, SINTEZA, ANALIZA STRUCTURALA SI PROPRIETATILE  
SUPRAMOLECULARE ALE UNOR NOI MACROCICLII SI MOLECULE  
CUSCA**

**Rezumatul tezei de doctorat**

**ADRIAN WOICZECHOWSKI-POP**

**Conducator stiintific:  
Prof. Dr. ION GROSU**

**Cluj-Napoca  
29 Septembrie 2010**





**Departmentul de Chimie Organica  
Universitatea Babes-Bolyai  
Cluj-Napoca, 400028  
ROMANIA**

**Rezumatul tezei de doctorat**

**ADRIAN WOICZECHOWSKI-POP**

**Juriu:**

<b>Conducator stiintific</b>	Prof. Dr. Ion GROSU	Universitatea Babes-Bolyai Cluj-Napoca
<b>Presedinte</b>	Conf. Dr. Ing. Luminița DAVID	Universitatea Babes-Bolyai Cluj-Napoca
<b>Referent</b>	Prof. Dr. Yvan RAMONDENC	Universitatea din Rouen
<b>Referent</b>	C.S.I. Dr. Ing. Cornelia UNCUTĂ	Centrul de Chimie Organica "Costin D. Nenitescu"
<b>Referent</b>	Prof. Dr. Ing. Anca SILVESTRU	Universitatea Babes-Bolyai Cluj-Napoca

**Cluj-Napoca  
29 Septembrie 2010**



## CUPRINS

1. INTRODUCERE.....	1
2. DATE DIN LITERATURA .....	3
2.1. STRATEGII DE SINTEZA .....	5
2.2. COMPLEXAREA MOLECULELOR ORGANICE CU COMPUSI DE TIP GAZDA.....	18
2.2.1. Forte de legare in complexii cu molecule oaspete organice.....	18
2.2.2. Recunoasterea moleculara a moleculelor organice prin legaturi de hidrogen si interactiuni ionice .....	19
3. OBIECTIVE.....	23
4. RESULTATE SI DISCUTII.....	23
4.1. SINTEZA SI ANALIZA UNOR PRECURSORI DE NOI MOLECULE CUSCA .....	23
4.1.1. Compusi cu unitati tris(fenil)benzenice si tris(bifenil)benzenice .....	23
4.1.2. Compusi cu uniasi 1,3,5-tris(fenil)-2,4,6-triazinice .....	53
4.1.3. Intermediari cu unitati naftlice si decaciclenice .....	61
4.2. MOLECULE CUSCA CU UNITATI TRIS(FENIL)BENZENICE .....	67
4.2.1. Sinteză și analiză structurală.....	67
4.2.2. Studii de modelare moleculară .....	79
4.2.3. Studii UV-Vis și de fluorescentă .....	84
4.2.4. Studii RMN .....	89
4.3. MOLECULE CUSCA CU UNITATI TRIS(BIFENIL)BENZENICE .....	93
4.3.1. Sinteză și analiză structurală.....	93
4.3.2. Studii de modelare moleculară .....	94
4.3.3. Studii UV-Vis și de fluorescentă .....	98
4.3.4. Studii prin voltametrie ciclica.....	104
4.4. MOLECULE CUSCA CU UNITATI 1,3,5-TRIS(FENIL)-2,4,6-TRIAZINICE .....	106
4.4.1. Sinteză și analiză structurală.....	106
4.4.1. Studiu proprietăților de complexare prin <sup>1</sup> H RMN.....	111
5. CONCLUZII .....	115
6. PARTE EXPERIMENTALA.....	117
6.1. INDICATII GENERALE .....	117
6.1. SINTEZA COMPUSILOR .....	119
Prepararea 1,3,5-tris-(4-bromofenil)benzenului (2) .....	119
Prepararea 1,3,5-tris-(4-formilfenil)benzenului (3).....	120
Prepararea 1,3,5-tris-(3-formilfenil)benzenului (6).....	121
Prepararea 1,3,5-tris-(3-hidroximetilfenil)benzenului (7) .....	122
Prepararea 1,3,5-tris-(4-metoxifenil)benzenului (10).....	124
Prepararea 1,3,5-tris-(4-hidroxifenil)benzenului (11) .....	124
Prepararea 4-acetil-4'-metoxibifenilului (13).....	125
Prepararea 1,3,5-tris-[4-(4'-metoxifenil)fenil]benzenului (14) .....	126
Prepararea 1,3,5-tris-[4-(4'-hidroxifenil)fenil]benzenului (15).....	127
Prepararea 1,3,5-tris-[3-(4'-metoxifenil)fenil]benzenului (16) .....	128
Prepararea 1,3,5-tris-[3-(4'-hidroxifenil)fenil]benzenului (17) .....	129
Prepararea compusului (18).....	130
Prepararea 2,4,6-tris-(4-bromofenil)-[1,3,5]-triazinei (20).....	131
Prepararea 2,4,6-tris-(4-bromometilfenil)-[1,3,5]-triazinei (23) .....	131

Prepararea 1,3,5-tris-(6-metoxinaftil)benzenului (29) .....	135
Prepararea 1,7,13-trinitrodecaciclenului (32).....	136
Prepararea moleculei cusca (42) .....	138
Prepararea moleculei cusca (48) .....	139
Prepararea moleculei cusca (49) .....	140
Prepararea moleculei cusca (52) .....	141

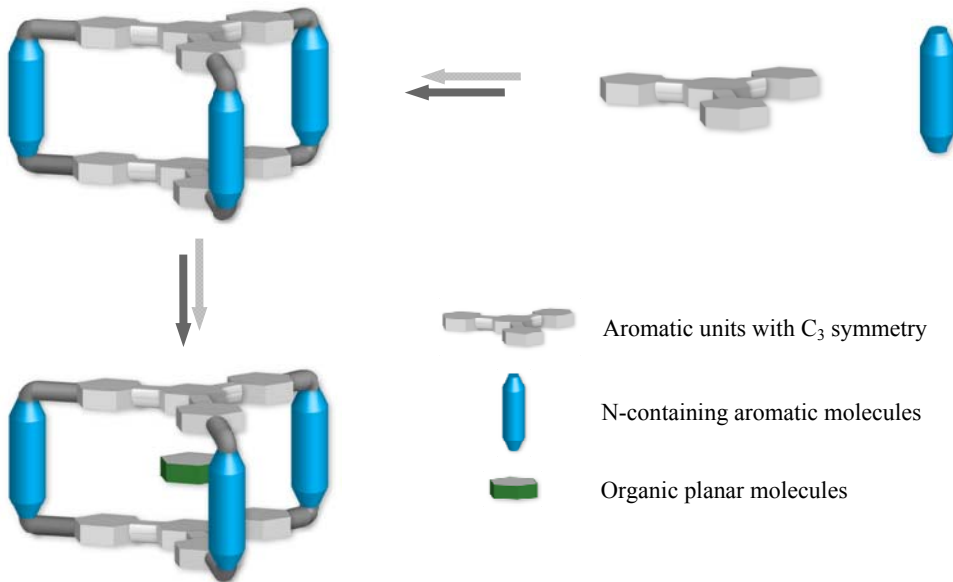
## 1. INTRODUCERE

Criptanzii reprezinta o clasa importanta de compusi, datorita proprietatilor acestora de a forma structuri supramoleculare prin complexarea cu diferiti anioni, cationi sau compusi organici neutri.<sup>1</sup>

Moleculele cusca sau sistemele bine-definite de molecule cusca capabile de mima (a efectua miscari de tip mecanic) la scara nano a echipamentelor si masinilor reale sunt importante pentru dezvoltarea stiintei si tehnologiei.<sup>2</sup>

Teza de fata se inscrie in acest domeniu al dezvoltarii stiintei.

Strategia conceputa pentru sinteza moleculelor cusca este ilustrata in **Figura 1**. Astfel, doua unitati aromatic extinse si trei brate aromatic continand atomi de azot sunt implicate in formarea a sase noi legaturi. Aceste molecule cusca prezinta proprietati supramoleculare speciale prin formarea de complexe cu diferite molecule organice oaspete.



**Figura 1.** Reprezentare grafica a macrocicilor tinta.

Prima parte a tezei prezinta sinteza si proprietatile supramoleculare ale unor molecule cusca cu unitati tris(fenil)benzenice descrise in literatura.

Partea a doua este dedicata sintezei si analizei structurale ale unor intermediari care au fost implicati ulterior in diferite reactii de macrociclizare. Sinteza si studiul acestor precursori a fost necesara, datorita importantei acestora in obtinerea moleculelor cusca

<sup>1</sup> (a) Lindsey, J. S. *New J. Chem.* **1991**, *15*, 153; (b) Whitesides, G. M., Mathias, J. P., Seto, C. T. *Science* **1991**, *254*, 1312; (c) Lehn, J. M. *Supramolecular Chemistry Concepts and Perspectives*; VCH: NY, 1995; (d) Philp, D., Stoddart, J. F. *Angew. Chem. Int. Ed.* **1996**, *35*, 1154.

<sup>2</sup> (a) Batten, S. R., Robson, R. *Angew. Chem. Int. Ed.* **1998**, *37*, 1460; (b) Reinhoudt, D. N., Stoddart, J. F., Ungaro, R. *Chem. Eur. J.* **1998**, *4*, 1349; (c) de Mendoza, J. *Chem. Eur. J.* **1998**, *4*, 1373.

dorite. O parte dintre acești intermediari sunt descrise în literatură, dar fără a fi precizate detalii referitoare la studiul acestora prin UV-Vis și fluorescție.

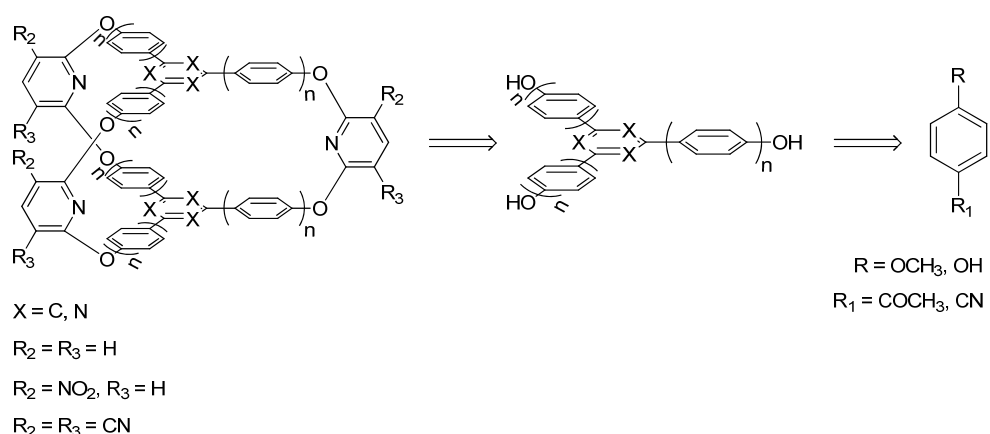
Cea mai importantă parte din teza este reprezentată de sinteza, analiza structurală și determinarea proprietăților supramoleculare ale unor noi molecule căutați cu simetrie  $C_3$  care prezintă conjugare extinsă. De asemenea, prin utilizarea cristalografiei de raze X a fost posibilă caracterizarea unei molecule căutați cu unități tris(fenil)benzenenice. Confirmarea posibilității acestora de a capta diferite molecule în interiorul cavității formate pentru a forma complexe de tip “gazda-oaspete” a fost realizată cu ajutorul studiilor de modelare moleculară.

Ultima parte a tezei constă în partea experimentală și prezintă detalii referitoare la metodologii de sinteza ale precursorilor și moleculelor căutați, dar și analiza structurală completă a acestor compuși.

### 3. OBIECTIVE

Scopul lucrarii a fost *sinteza de noi macrociclii si molecule cusca cu proprietati supramoleculare speciale*, care pot fi utilizati ca si componente in obtinerea de *masini* si alte *dispozitive moleculare*.

Schema retrosintetica propusa pentru sinteza moleculelor cusca tinta este prezentata in **Schema 11.**



**Schema 11.**

*Studiile de complexare* ale acestor noi macrociclii vor fi realizate utilizand diferite metode de investigare, precum *spectroscopia RMN*, si *analeze de UV-Vis* si *fluorescenta*. Pentru a defini posibilitatea de se forma structuri supramoleculare cu diferite molecule organice, vor fi efectuate studii prin *modelare moleculara*.

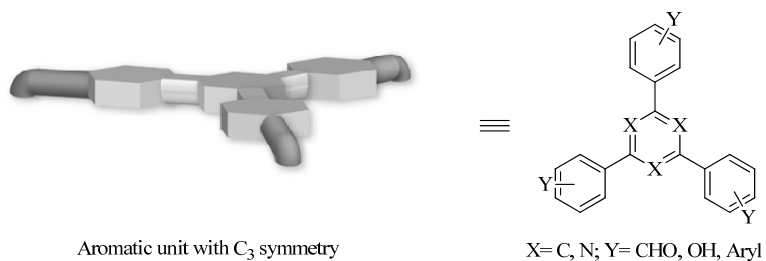
Datorita selectivitatii cavitatii de forma si dimensiune bine-definite, moleculele cusca sunt ideale pentru constructia de *nano-obiecte* si pot avea aplicatii in *nanostiinta*.



## 4. REZULTATE SI DISCUSII

### 4.1. SINTEZA SI ANALIZA STRUCTURALA A PRECURSORILOR UTILIZATI IN OBTINEREA DE NOI MOLECULE CUSCA

Dupa cum a fost afirmat inainte, scopul nostru a fost sinteza de compusi macrociclici cu simetrie  $C_3$ . Pentru a obtine macrocielii tinta, a fost necesara sinteza de intermediari aromatic trisubstituiti. Strategia de sinteza utilizata a macrocicilor este prezentata in **Figura 1**. Precursorii sintetizati constau in unitati aromatice extinse care prezinta planaritate si favorizeaza formarea de interactiuni  $\pi$ - $\pi$  stacking cu diferite molecule organice de tip ospete. O reprezentare generala a intermediarilor folositi in sinteza de compusi macrociclici este redata in **Figura 9**.

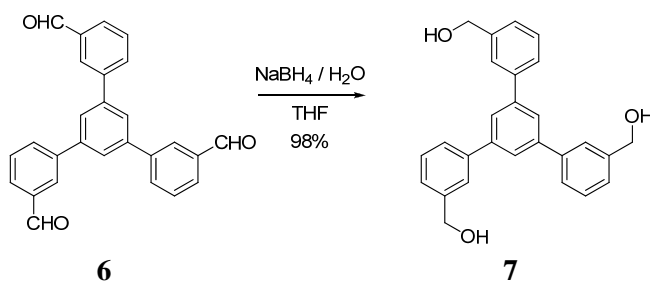


**Figura 9.** Reprezentarea grafica a precursorilor aromatici.

#### 4.1.1. Compusi cu unitati tris(fenil)benzenice si tris(bifenil)benzenice

Primul pas in formarea moleculelor cusca tinta este reprezentat de sinteza unor derivati tris(fenil) si tris(bifenil)benzenici.

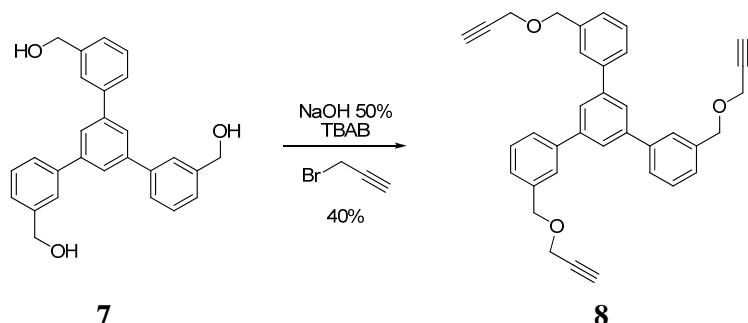
Reactia de reducere cu  $\text{NaBH}_4$  in  $\text{H}_2\text{O}$ <sup>3</sup> a compusului **6** conduce la formarea derivatului **7** (98%)(**Schema 14**). Compusul **7** nu a fost descris in literatura. Structura lui **7** a fost pusa in evidenta cu ajutorul spectroscopiei RMN.



**Schema 14.**

<sup>3</sup> Badjić, J. D., Cantrill, S. J., Stoddart, J. F. *J. Am. Chem. Soc.* **2004**, *126*, 2288.

Compusul **7** a fost implicat intr-o reactie de transfer de fază cu bromura de propargil, reactive descrisa in literatură, pentru a obtine compusul nou **8** cu randament de 40 % (**Schema 15**).<sup>4,5</sup>



### Schema 15.

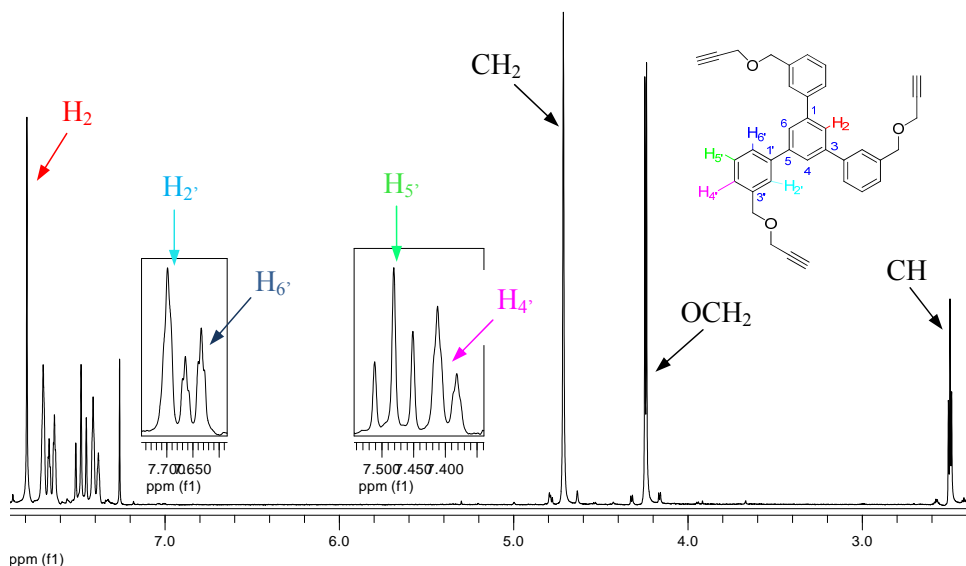
Compusul **8** a fost caracterizat prin spectroscopie RMN. Spectrul  $^1\text{H}$  RMN este prezentat în **Figura 21**.

In zona aromatica a spectrului  $^1\text{H}$  RMN a compusului **8**, protonii  $\text{H}_2$  and  $\text{H}_2'$  apar ca si singlete la 7.79 ppm, si 7.70 ppm, in timp ce protonii  $\text{H}_4$  si  $\text{H}_6'$  sunt mai ecranati la 7.39 ppm ( $^3J = 7.5$  Hz), respectiv 7.64 ppm ( $^3J = 7.5$  Hz) si apar ca si dublete. Un semnal triplet la 7.48 ppm ( $^3J = 7.5$  Hz) poate fi atribuit protonilor  $\text{H}_5'$ .

In zona alifatica a spectrului se pot observa trei semnale: un singlet la 4.71 ppm pentru protonii gruparii  $\text{CH}_2\text{O}$ , un dublet la 4.25 ppm ( $^4J = 2.5$  Hz) corespunzator protonilor  $\text{OCH}_2$  si un semnal triplet la 2.50 ppm ( $^4J = 2.5$  Hz) pentru protonii CH din legatura tripla terminala.

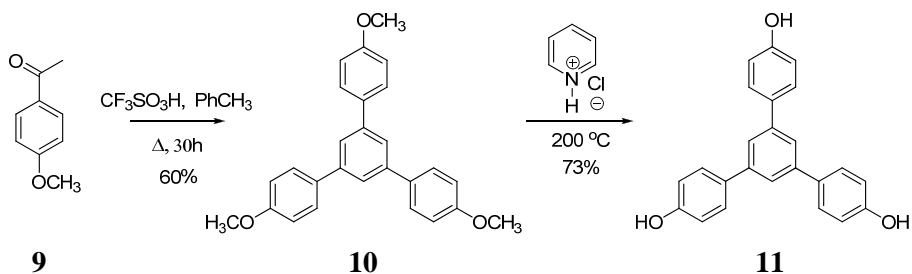
<sup>4</sup> Chittaboina, S., Xie, F., Wang, Q. *Tetrahedron Lett.* **2005**, *46*, 2331;

<sup>5</sup>(a) Wu, P., Feldman, A. K., Nugent, A. K., Hawker, C. J., Scheel, A., Voit, B., Pyun, J., Frechet, J. M. J., Sharpless, K. B., Fokin, V. V., *Angew. Chem. Int. Ed.* **2004**, *43*, 3928; (b) Saha, A., Ramakrishnan, S. *Macromolecules* **2009**, *42*, 4956.



**Figura 21.** Fragment din spectrul  $^1\text{H}$  RMN (250 MHz,  $\text{CDCl}_3$ ) al compusului **8**.

Compusul **10** a fost obtinut cu un randament de 60% pornind de la 4-metoxiacetofenona **9**, in toluen, in conditii acide (acid triflic). Derivatul **10**, in solutie de clorhidrat de piridina la  $200^\circ\text{C}$  duce la obtinerea trisfenolului **11** (randament 73%) (**Schema 16**).<sup>6</sup> Cei doi compusi sintetizati sunt cunoscuti in literatura. Detalii referitoare la studiile prin UV-Vis si fluorescenta in cazul derivatului **11** sunt prezentate pentru prima data in aceasta lucrare.



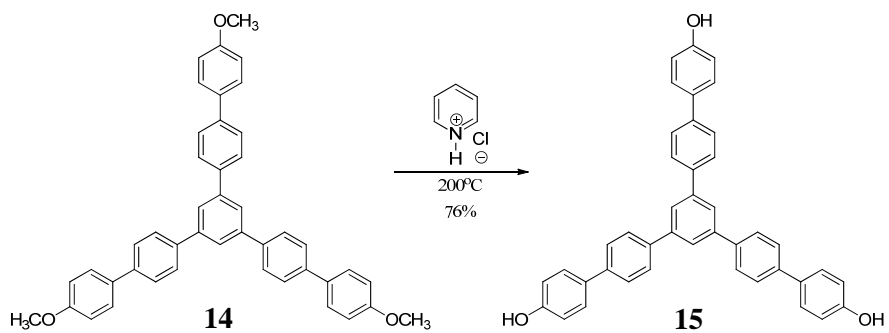
**Schema 16.**

Derivatul **15** a fost obtinut cu un randament de 76% in urma reactiei dintre compusul **14** si clorhidrat de piridina, conform datelor din literatura (**Schema 18**).<sup>7</sup> Desi acest compus este cunoscut, o atribuire completa a semnalelor corespunzatoare atomilor de carbon a fost

<sup>6</sup> Constable, E. C., Housecroft, C. E., Neuburger, M., Poleschak, I., Zehnder, M. *Polyhedron* **2003**, 22, 93.

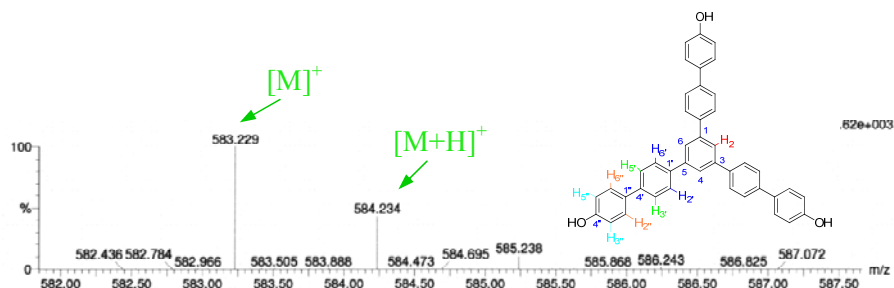
<sup>7</sup> Mirokawa, A., Ono, K. *Polym. J.* **2000**, 32, 255.

facuta doar in aceasta teza. Spectroscopia RMN a fost utilizata pentru caracterizarea completa a compusului **15**.



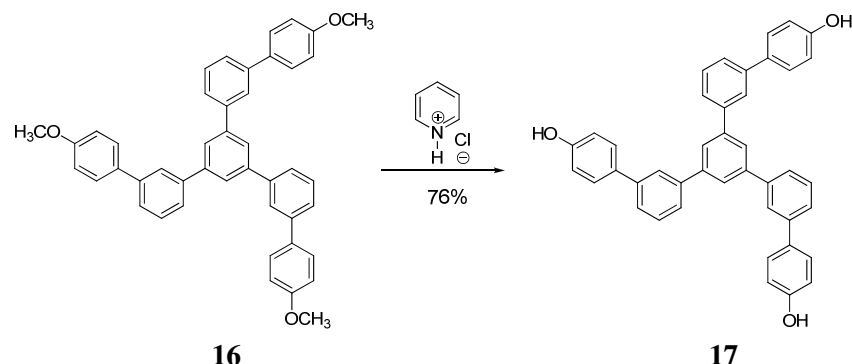
**Scheme 18.**

Compusul **15** a fost, de asemenea, caracterizat si prin spectrometrie de masa. Spectrul RMN este prezentat in **Figura 34**, putandu-se detecta speciile ionice la  $m/z$  583, corespunzator pentru  $[\text{M}]^+$  si la  $m/z$  584, corespunzator pentru  $[\text{M}+\text{H}]^+$ .



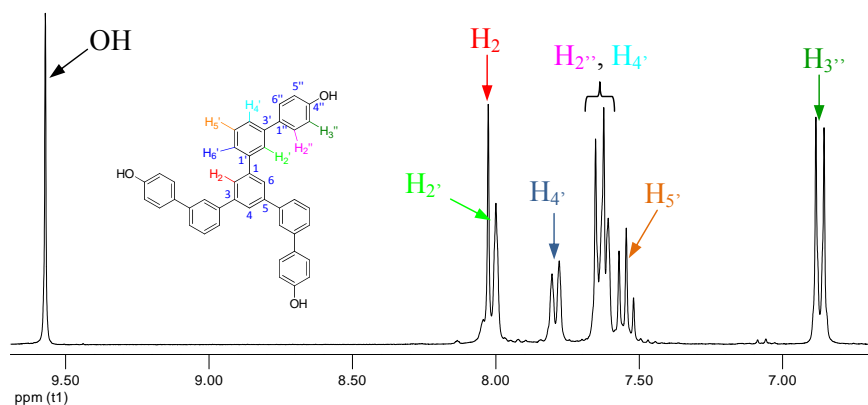
**Figura 34.** Spectrul de masa al derivatului **15**.

Compusul **17** este nou si a fost sintetizat pornind de la **16** in urma unei reactii cu clorhidratul de piridina la  $200^\circ\text{C}$  (randament 76%) (**Schema 20**). Structura compusului a fost pusa in evidență in urma studiilor prin spectroscopie RMN si spectrometrie de masa.



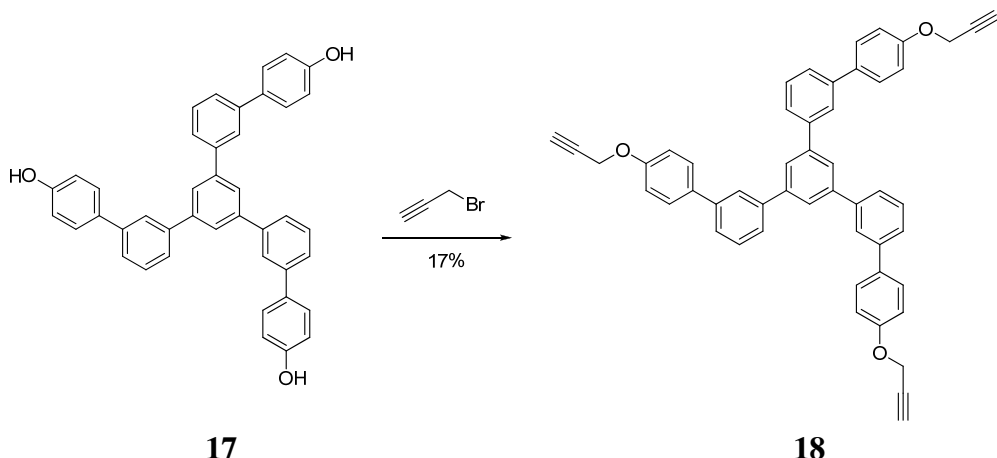
### Scheme 20.

Studiile RMN monodimensionale si bidimensionale au fost efectuate pentru analiza structurala a compusului **17**, spectrul  $^1\text{H}$  RMN fiind prezentat in **Figura 38**. Protonii corespunzatori gruparii hidroxil sunt cei mai dezecranati si apar sub forma unui singlet la 9.57 ppm, in timp ce protonii  $\text{H}_2$  and  $\text{H}_2'$  sunt atribuiti semnalelor singlet de la 8.02 ppm, respectiv la 8.00 ppm. Semnalul dublet de la 7.79 ppm este atribuit protonilor  $\text{H}_{6'}$ , avand o constanta de cuplaj de  $^3J = 7.5$  Hz. Protonii  $\text{H}_5'$  apar sub forma de triplet la 7.54 ppm ( $^3J = 7.5$  Hz) si un dublet la 6.86 ppm corespunde protonilor  $\text{H}_{3''}$ . Protonii  $\text{H}_{2''}$  si  $\text{H}_{4'}$  apar sub forma de dublete suprapuse la 7.60 ppm.



**Figura 38.** Fragment  $^1\text{H}$  RMN (300 MHz, DMSO- $d_6$ ) a compusului **17**.

Sinteza compusului nou **18** a fost realizata in urma reactiei dintre trisfenolul **17** si bromura de propargil, in diclorometan (**Schema 21**).<sup>8</sup> Structura derivatului cu triple legaturi terminale **18** a fost confirmata de studiile RMN.



**Schema 21.**

#### 4.1.2. Compuși cu unități 1,3,5-triazinobenzenice

Planaritatea este un factor important in sinteza de molecule cusca. Astfel, conform literaturii, derivatii cu unitati triazinice cu simetrie C<sub>3</sub> sunt ideale in acest sens.

Recent, datele de literatură prezinta o clasa importantă de molecule cusca obtinute in urma reactiilor “click”.<sup>9</sup> Reactiile “click” implica prezenta unui derivat cu legaturi triple terminale si un derivat cu grupari N<sub>3</sub>.

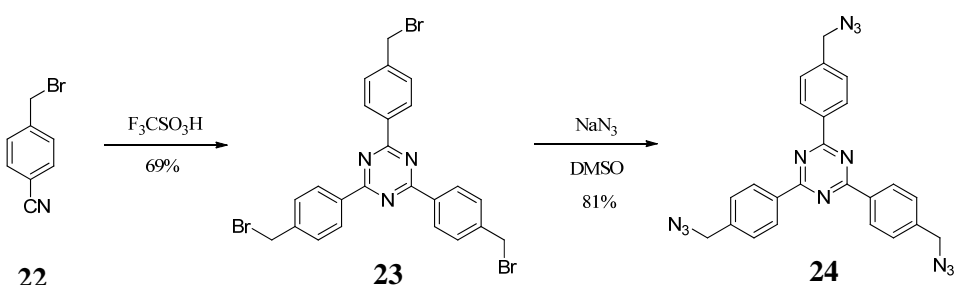
Pornind de la derivatul **23**, in urma unei metodologii de sinteza adaptate,<sup>10</sup> utilizand NaN<sub>3</sub> in dimetilsulfoxid, a fost obtinut un compus nou (**24**) cu trei grupari N<sub>3</sub> cu un randament de 81% (**Schema 23**). Reactia “cheie” a fost reprezentata de sinteza derivatului **23**, care, intr-o prima incecare a fost obtinut cu randamente mici (22%) in mediu acid (acid triflic), utilizand ca si solvent cloroform anhidru. Randamentul a fost mult imbunatatit

<sup>8</sup> (a) Bogdan, N. D., Matache, M., Meier, V. M., Dobrota, C., Dumitru, I., Roiban, G. D., Funeriu, D. P. *Chem. Eur. J.* **2010**, *16*, 2170; (b) Wu, P., Feldman, A. K., Nugent, A. K., Hawker, C. J., Scheel, A., Voit, B., Pyun, J., Frechet, J. M. J., Sharpless, K. B., Fokin, V. V. *Angew. Chem. Int. Ed.* **2004**, *43*, 3928; (c) Saha, A., Ramakrishnan, S. *Macromolecules* **2009**, *42*, 4956; (d) Kim, S. H., Choi, H. S., Kim, J., Lee, S. J., Quang, D. T., Kim, J. S. *Org. Lett.* **2010**, *12*, 560.

<sup>9</sup> (a) Brunet, E., Juanes, O., Jiménez, Rodríguez-Ubis, J. C., *Tetrahedron Lett.* **2009**, *50*, 5361; (b) Moni, L., Rossetti, S., Scoponi, M., Marra, A., Dondoni, A. *Chem. Commun.* **2010**, *46*, 475; (c) Ni, B. -B., Wang, C., Wu, H., Pei, J., Ma, Y. *Chem. Commun.* **2010**, *46*, 782; (d) Bogdan, N. D., Matache, M., Meier, V. M., Dobrota, C., Dumitru, I., Roiban, G. D., Funeriu, D. P. *Chem. Eur. J.* **2010**, *16*, 2170; (e) Morales-Sanfrutos, J., Ortega-Munoz, M., Lopez-Jaramillo, J., Hernandez-Mateo, F., Santoyo-Gonzalez, F. *J. Org. Chem.* **2008**, *73*, 7772; (f) Alonso, F., Moglie, Y., Radivoy, G., Yus, M. *Tetrahedron Lett.* **2009**, *50*, 2358.

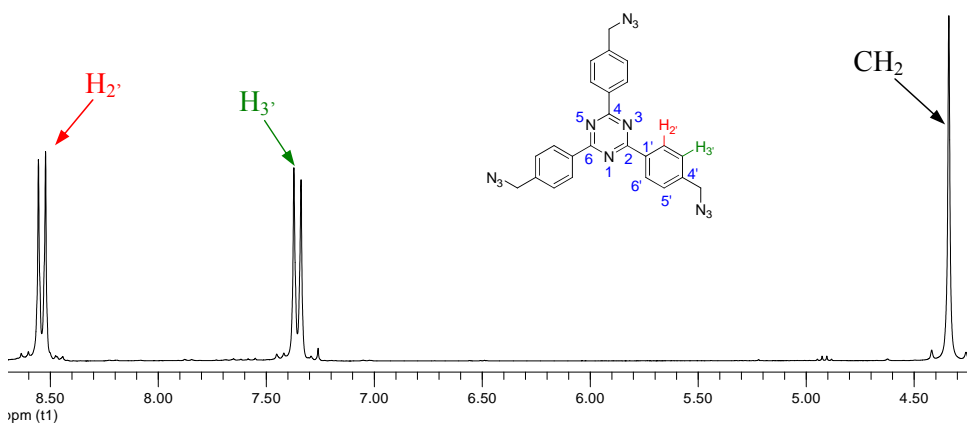
<sup>10</sup> Sinha, J., Sahoo, R., Kumar, A. *Macromolecules* **2009**, *42*, 2015.

(69%) in urma reactiei de trimerizare a compusului comercial 4-bromometilbenzonitril **22**, utilizand doi echivalenti de acid triflic, dar in lipsa unui solvent.<sup>11</sup>



**Schema 23.**

Spectrul  $^1\text{H}$  RMN al derivatului triazinic **24** este redat in **Figura 46**. Toate semalele corespunzatoare protonilor compusului **24** sunt mai ecranate decat cele atribuite protonilor intermediarului **23**. Un sistem AB poate fi atribuit protonilor gruparii fenilice grefate pe nucleul triazinic [ $\text{H}_2$ : 8.54 ppm ( $^3J = 7.5 \text{ Hz}$ ),  $\text{H}_3$ : 7.36 ppm ( $^3J = 7.5 \text{ Hz}$ )]. In zona alifatica a spectrului un semnal singlet la 4.34 ppm este atribuit protonilor gruparii metilenice.

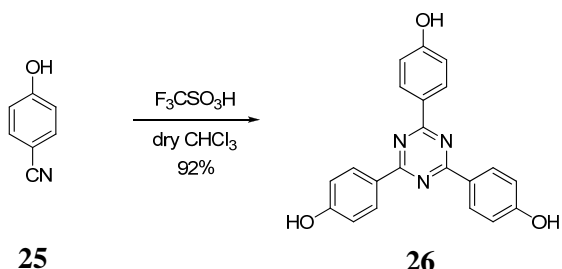


**Figure 46.** Fragment din spectrul  $^1\text{H}$  RMN (250 MHz,  $\text{CDCl}_3$ ) al compusului **24**.

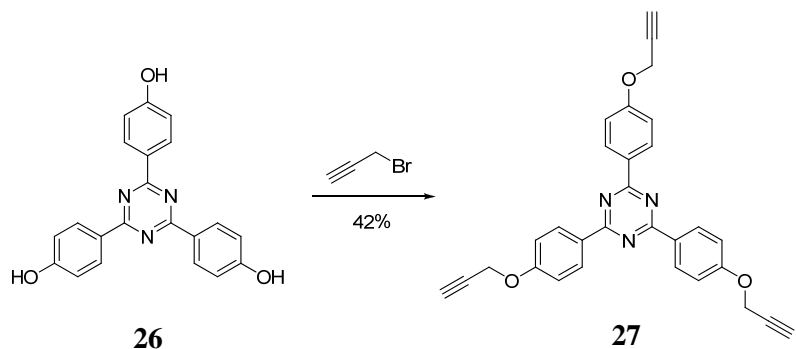
Prin reactia de trimerizare la temperatura camerei a compusului comercial **25** in mediul acid (acid triflic) utilizand ca si solvent cloroform anhidru, s-a obtinut derivatul trisfenolic **26** (**Schema 24**). Compusul **26** este presentat in literatura,<sup>12</sup> dar detalii referitoare la partea experimentală și analiza structurală sunt descrise pentru prima data in aceasta lucrare. Simpla purificare prin filtrare permite obtinerea compusului pur cu un randament de 92%.

<sup>11</sup> Durot, S., Mobian, P., Collin, J.-P., Sauvage, J.-P. *Tetrahedron* **2008**, *64*, 8496.

<sup>12</sup> Ranganathan, A., Heisen, B. C., Dix, I., Meyer, F. *Chem. Commun.* **2007**, 3637.

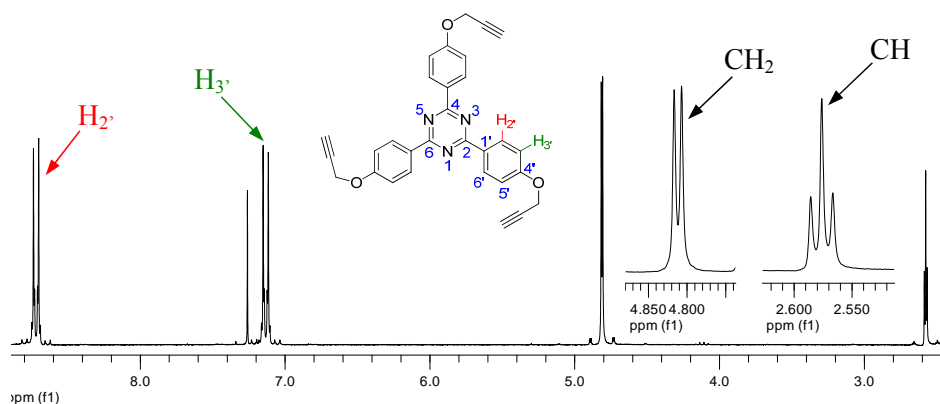
**Scheme 24.**

In urma reactiei dintre compusul **26** si bromura de propargil in conditii standard (solutie apoasa de NaOH 50% si TBAB in CH<sub>2</sub>Cl<sub>2</sub>) s-a obtinut derivatul nou **27** cu randamente mici (8%). Prin modificarea conditiilor de reactie (K<sub>2</sub>CO<sub>3</sub>, toluene, reflux)<sup>13</sup> randamentele au fost imbunatatite considerabil (42%) (**Schema 25**).

**Scheme 25.**

Studiile efectuate prin spectroscopie RMN mono si bidimensionale confirmă structura derivatului nou **27**. Spectrul <sup>1</sup>H RMN (**Figura 51**) este în concordanță cu structura simetrică a compusului, protonii H<sub>2'</sub> și H<sub>3'</sub> fiind atribuiți semnalelor dublet la 8.72 ppm (<sup>3</sup>J = 7.5 Hz), respectiv la 7.13 ppm (<sup>3</sup>J = 7.5 Hz). În zona alifatică a spectrului două semnale pot fi atribuite protonilor din gruparea propargilică: un dublet la 4.81 ppm (<sup>4</sup>J = 2.5 Hz) atribuit protonilor grupării CH<sub>2</sub> și un semnal triplet la 2.57 ppm (<sup>4</sup>J = 2.5 Hz) corespunzător protonilor CH din tripla legătura.

<sup>13</sup> (a) Berscheid, R., Nieger, M., Vöegtle, F. *J. Chem. Soc., Chem. Commun.* **1991**, 1364; (b) Morales-Sanfrutos, J., Ortega-Munoz, M., Lopez-Jaramillo, J., Hernandez-Mateo, F., Santoyo-Gonzalez, F. *J. Org. Chem.* **2008**, 73, 7772.



**Figura 51.** Fragment din spectrul  $^1\text{H}$  RMN (250 MHz,  $\text{CDCl}_3$ ) al compusului 27.

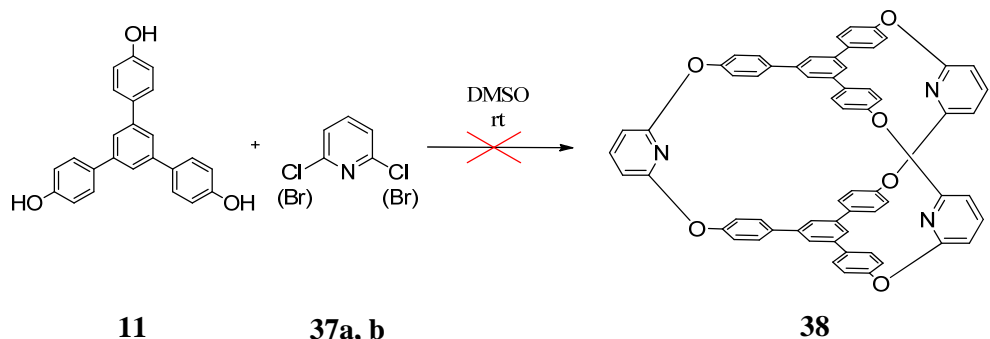
#### 4.2. MOLECULE CUSCA CU UNITATI TRIS(FENIL)BENZENICE

Avand ca punct de pornire unitatile aromatice cu simetrie  $C_3$ , pasul urmator a fost constituit de investigarea metodologiilor de sinteza pentru utilizarea acestora in obtinerea de molecule cusca. Astfel, am adoptat ca si metoda de sinteza condensarea intermoleculara descrisa in obiective.

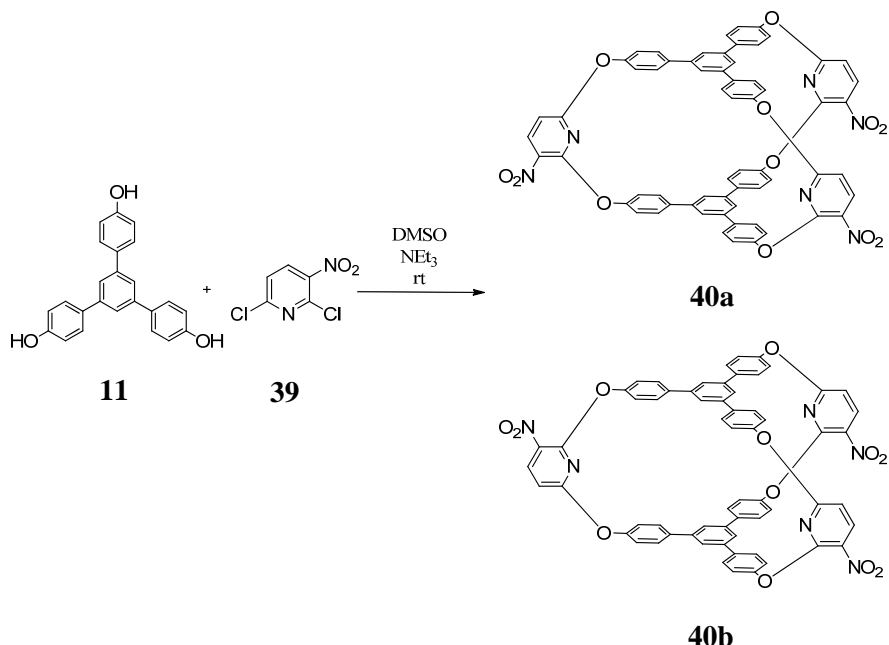
##### 4.2.1. Sinteza si analiza structurala

Incercarile noastre de a sintetiza macrociclul **38** (**Schema 31**) s-a bazat pe studiile de literatura.<sup>14</sup> Reactiile de macrociclizare dintre compusul **11** si dicloro- (**37a**) sau dibromopiridina (**37b**) au fost efectuate in DMSO, la temperatura camerei, utilizand carbonat de cesiu ca si baza. In cele doua cazuri, la sfarsitul reactiei, doar materiile prime au fost recuperate. O a doua incercare a constat in utilizarea trietilaminei ca si baza (baza mai tare decat carbonatul de cesiu), iar temperatura a fost ridicata la  $80^\circ\text{C}$ . Niciodata acestor modificari compusul dorit nu a fost obtinut, doar materiile prime fiind evidetiate prin spectroscopie RMN.

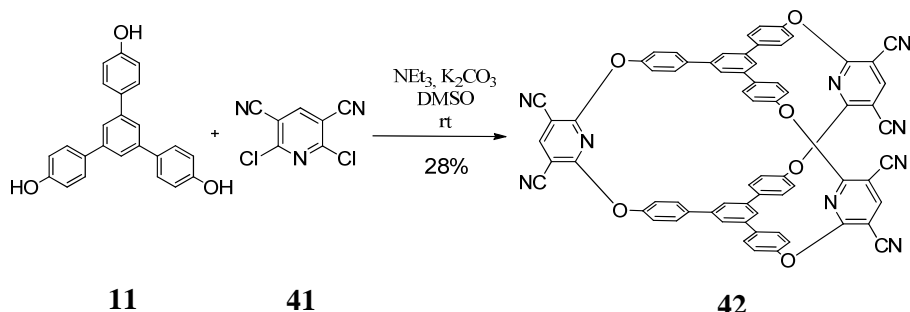
<sup>14</sup> Katz, J. L., Selby, K. J., Conry, R. R. *Org. Lett.* **2005**, 7, 3505

**Schema 31.**

Moleculele cusca izomere **40a** and **40b** au fost sintetizate pornind de la 2,6-diclor-3-nitropirdina **39** si trisfenolul **11** (**Scheme 32**). Separarea celor doi izomeri prin chromatografie pe coloana nu fost posibila datorita factorului de retentie similar.

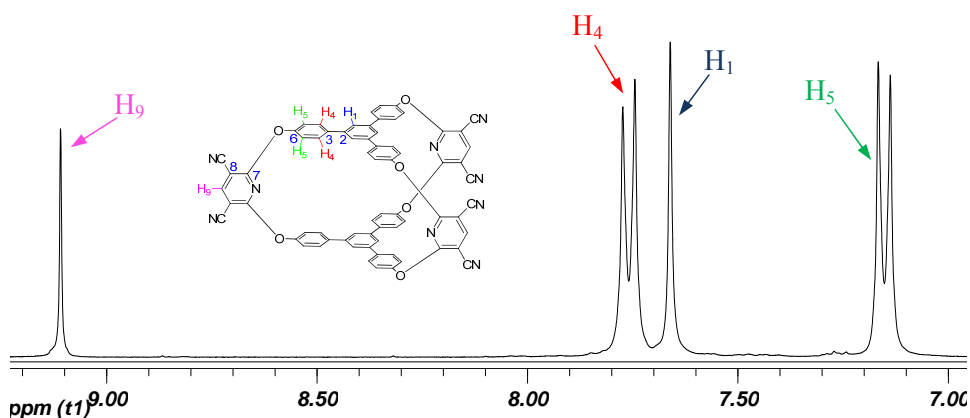
**Scheme 32.**

Prin reactia dintre derivatul piridinic comercial **41** in DMSO la 80°C, utilizand trietilamina (baza) si carbonatul de potasiu (“template”) s-a obtinut criptandul **42** cu un randament de 28% (**Scheme 33**).

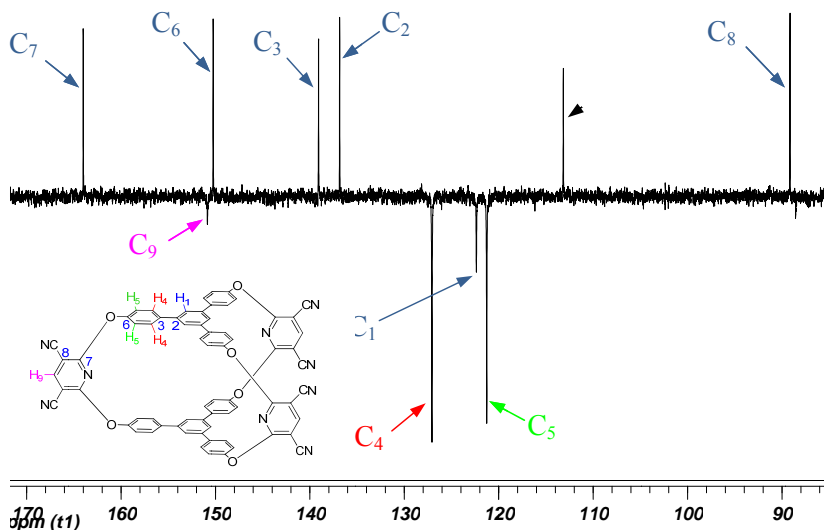
**Schema 33.**

Structura moleculei cуска **42** a fost confirmata prin spectroscopie RMN mono si bidimensională, spectrometrie de masa si difractie de raze X. De asemenea, studii de UV-Vis si fluorescenta au fost efectuate pentru a caracteriza macrociclul **42**.

Zona aromatica a spectrului  $^1\text{H}$  RMN prezinta toate semnalele caracteristice macrociclului **42** (**Figura 58**). Un semnal singlet la 9.11 ppm este atribuit protonilor  $\text{H}_9$  din nucleul piridinic. Protonii  $\text{H}_4$  apar sub forma de dublet la 7.75 ppm ( $^3J = 8.4$  Hz), in timp ce protonii  $\text{H}_5$  sunt ecranati si apar sub forma de dublet la 7.15 ppm ( $^3J = 8.4$  Hz). Protonii  $\text{H}_1$  coresponzatori nucleului fenilic trisubstituit apar sub forma de singlet la 7.66 ppm.

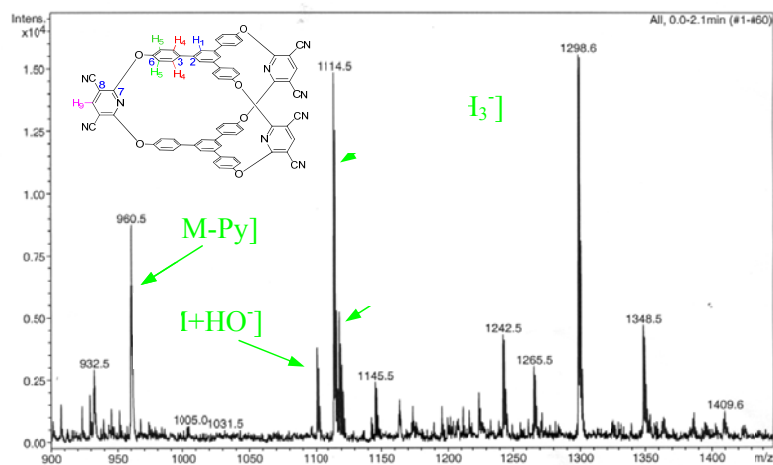
**Figure 58.** Spectrul  $^1\text{H}$  RMN (300 MHz,  $\text{DMSO}-d_6$ ) al macrociclului **42**.

Spectroscopia  $^{13}\text{C}$  RMN (**Figura 59**) scoate in evidenta aparitia unui set de sase semnale corespunzatoare atomilor de carbon cuaternari din molecula [ $\delta$  (ppm): 89.14 ( $\text{C}_8$ ), 113.00 ( $\text{CN}$ ), 136.84 ( $\text{C}_2$ ), 139.07 ( $\text{C}_3$ ), 150.23 ( $\text{C}_6$ ) si 164.00 ( $\text{C}_7$ )] si un set de patru semnale corespunzatoare atomilor de carbon terciari [ $\delta$  (ppm): 121.26 ( $\text{C}_5$ ), 127.06 ( $\text{C}_4$ ), 122.36 ( $\text{C}_1$ ) si 150.85 ( $\text{C}_9$ )].



**Figura 59.** Spectrul <sup>13</sup>C APT (75 MHz, DMSO-*d*<sub>6</sub>) al criptandului **42**.

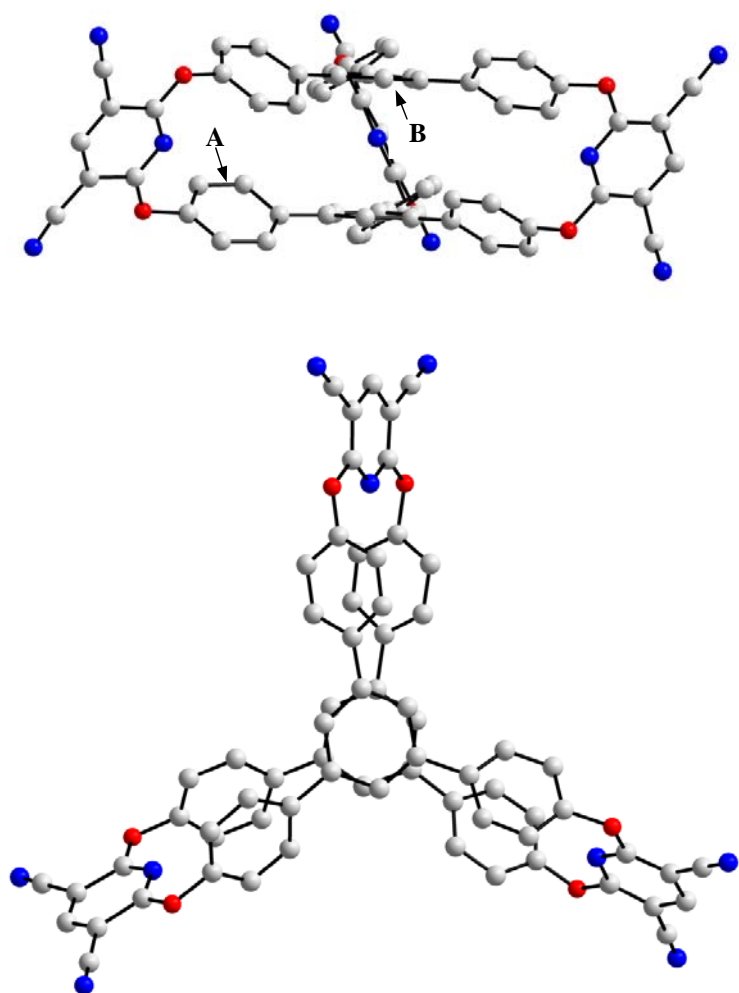
Spectrul de masa redat **Figura 62** în este în concordanță cu structura criptandului **42**. Picul molecular apare sub formă de specii ionice: *m/z* 1120 [M+Cl<sup>-</sup>], *m/z* 1114.5 [M+OCH<sub>3</sub>]<sup>-</sup>, *m/z* 1100 [M+HO<sup>-</sup>] și *m/z* 960.5 [M-Py].



**Figura 62.** Spectrul de masa al moleculei **42**.

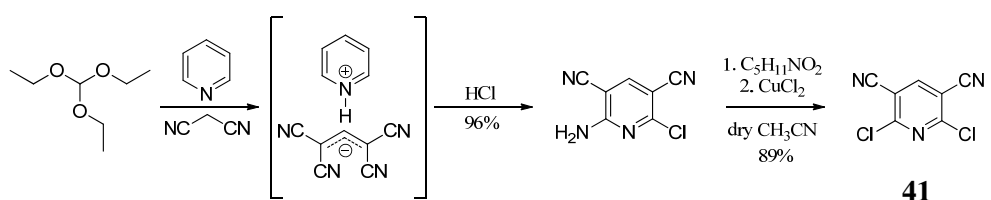
Prin evaporarea lenta la temperatura camerei a unei solutii de criptand **42** in acetat de etil s-au obtinut cristale incolore care au fost studiate prin difractie de raze X. Diagrama DIAMOND in care este prezentata structura moleculei este redată in **Figura 63**.

Dupa cum se poate observa din figura, cele doua unitati trisfenilbenzenice nu sunt planare, o forma elicoidală evidențiindu-se. Distanța dintre unitatile fenilice de tip **A** este de 3.963 Å, aceasta distanță fiind mai mică decât distanța dintre centroidele nucleului benzenic de tip **B** (4.211 Å). Atomii de azot sunt orientați în interiorul cavității formate.



**Figura 63.** Structura de raze X a moleculei cusca **42** (Atomii de hidrogen au fost înălțați pentru claritate).

Derivatul piridinic **41**, utilizat ca si “linker” in reactia de macrociclizare a fost sintetizat conform conditiilor expuse in **Schema 34**.



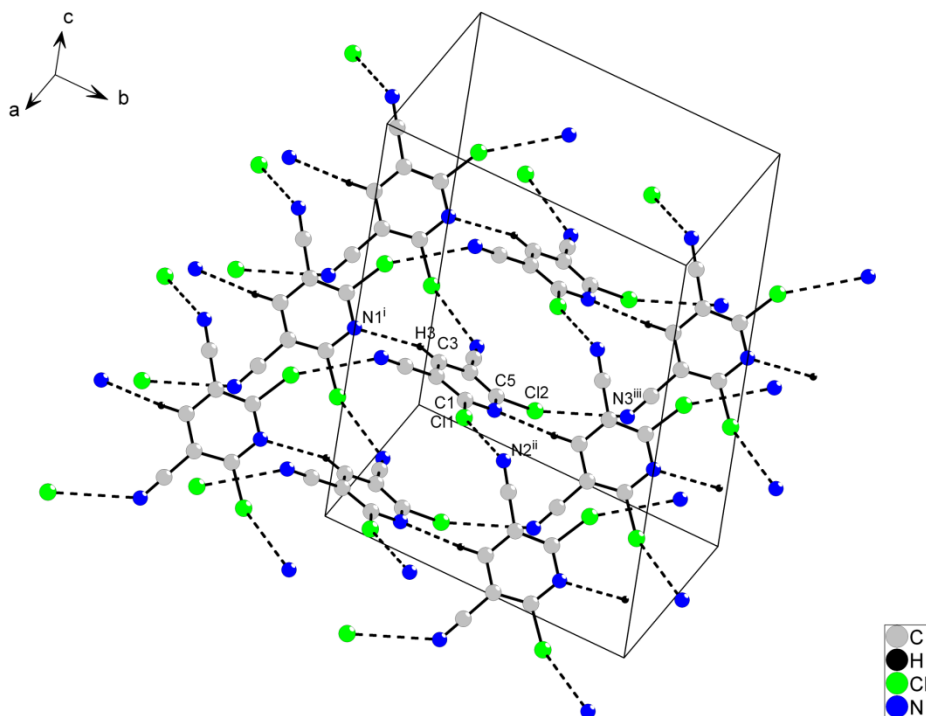
**Scheme 34.**

Desi sinteza compusului este cunoscuta in literatura, prezenta gruparilor electronodonoare CN, prezenta celor doi atomi de clor din pozitiile 2, respective 6 si prezenta protonului acidic din pozitia 4, alaturi de atomul de *N* din nucleul heterociclic pot determina formarea de interactiuni intermoleculare interesante. Astfel, au fost obtinute cristale prin evaporarea lenta la temperatura camerei a unei solutii de **41** in diclorometan.<sup>15</sup>

Molecula **41** este planara, doar atomii de azot din gruparile CN fiind deviati de la planul definit de inelul piridinic [0.061(4) and 0.025(4) Å] si sunt situati de acceasi parte a planului.

Moleculele sunt conectate in lanturi de-a lungul axei *b* prin interactiuni intermoleculare C—H···N (C3—H3···N1<sup>i</sup> = 2.54 Å). Inelele piridinice consecutive ale lanturilor nu sunt coplanare si sunt inclinate unul fata de celalalt cu un unghi de 56.5(1)°. Lanturile sunt interconectate, formand straturi de-a lungul planului *ab* prin interactiuni intermoleculare de halogen C—Cl···N [3.241(4) Å, respectiv 3.281(5) Å] (**Figura 65**).

<sup>15</sup> Woiczechowski-Pop, A., Varga, R. A., Terec, A., Grosu, I. *Acta Cryst. E.*, submitted.



**Figura 65.** Interactiuni intermoleculare (reprezentate cu linii punctate) in structura cristalului compusului **41** si formarea de straturi de-a lungul planului *ab*.

#### 4.2.2. Studii de modelare moleculară

S-au efectuat calcule teoretice pentru a studia posibilitatea moleculei cusca **42** de a forma complexe supramoleculare prin asocierea acesteia cu diferite molecule organice. Rezultatele au fost obtinute utilizand un pachet de chimie cuantica Gaussian3, prin aplicarea metodelor DFT, B3LYP, BHandHLYP.

In studiul proprietatilor supramoleculare ale criptandului **42** prin modelare moleculară s-au folosit diferiti compusi oaspete (**Tabelul 1**).

**Tabelul 1.** Molecule oaspete utilizate in studiul prin modelare moleculara.

Molecule oaspete

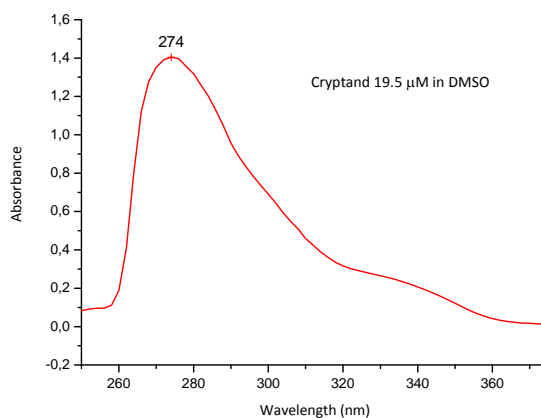
Moleculele utilizate in acest studiu au permis designul unor structuri macro- sau supramoleculare cu cavitati extinse si doua unitati aromatiche. Cavitatile formate pot fi utilizate ca si filtre sau trape molecule pentru diferite molecule neutre. Pe baza studiilor prin modelare moleculara am putut estima ca acest criptand luat in calcul prezinta structura ideală pentru complexarea diverselor molecule oaspete.

Optimizarea geometrica a criptandului confirma faptul ca cele doua unitati aromatice paralele nu sunt plane.

#### 4.2.3. Studii de UV-Vis si de fluorescenta

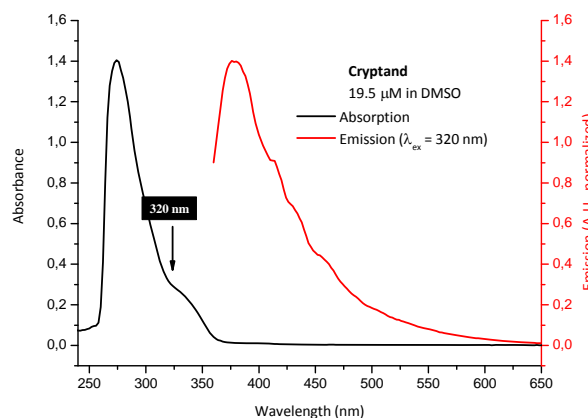
Studii UV-Vis si fluorescenta au fost realizate pentru a investiga proprietatile supramoleculare ale moleculei de tip cusca **42**.

Asa cum poate fi vazut din spectrul prezentat in **Figura 75**, maximul de absorbtie a fost detectat la 274 nm. Absorptia in regiunea UV este datorat caracterului aromatic al moleculei cusca.



**Figura 75.** Spectrul UV-Vis al compusului **42** in DMSO (19.5  $\mu$ M).

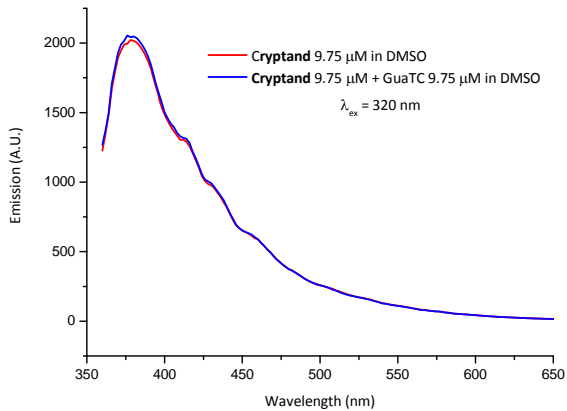
Proprietatile emisive ale macrociclului au fost de asemenea investigate. Asa cum poate fi observat in **Figura 77**, maximul de emisie a fost observat la 380 nm (19.5  $\mu$ M in DMSO).



**Figura 77.** Spectrul de fluorescenta al compusului **42** in DMSO (19.5  $\mu$ M).

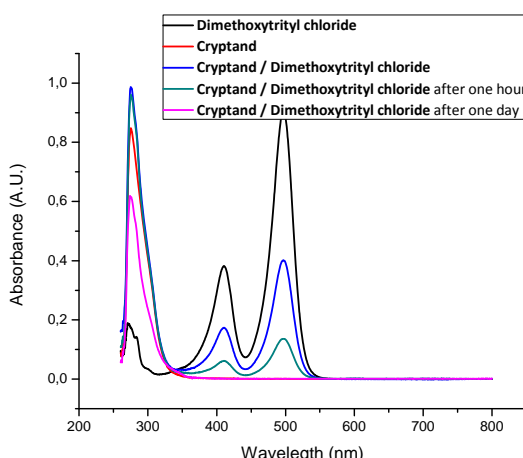
In continuare, au fost efectuate studii de complexare pentru compusul **42**. In acest sens au fost folosite unele molecule gazda. Formarea complexului de tip gazda-oaspete a fost investigat prin studii de fluorescenta.

Pentru primele studii de complexare s-a folosit ca si molecule oaspete tiocianatul de guanidina. In **Figura 80** sunt prezentate benzile corespunzatoare maximului de emisie pentru moleculea cu numarul **42** si pentru complexul criptand **42**/tiocianat. Fata de compusul **42**, in spectrul complexului nu se observa nici o schimbare semnificativa, in ambele cazuri maximul de emisie a fost observat la 378 nm. In acest caz, se poate sugera instabilitatea complexului datorita lipsei legaturilor de hidrogen dintre **42** si moleculea oaspete sau faptul ca acest complex nu s-a format.



**Figura 80.** Spectrele de fluorescenta suprapuse corespunzatoare compusului **42** si complexului criptand **42**/guanidinethiocianat.

Urmatoarul compus folosit ca si molecule oaspete in studiile de complexare a fost clorura de 4,4'-dimetoxitritil (**Figura 82**). Initial, comparand cele doua sisteme nu se observa nici o schimbare in complex fata de **42**. O schimbare semnificativa se observa insa dupa o zi cand banda de emisie corespunzatoare moleculei oaspete dispare.

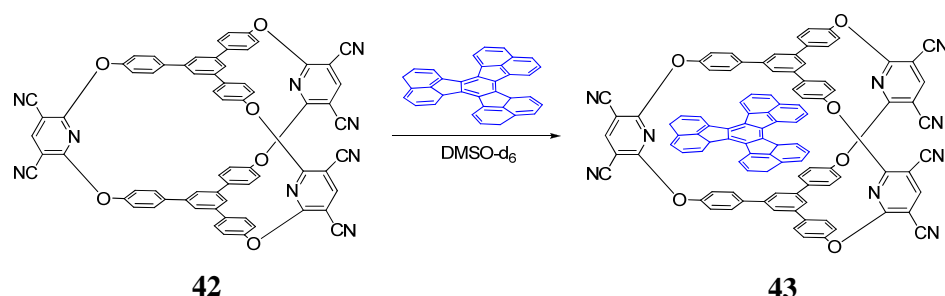


**Figura 82.** Spectrele UV-Vis suprapuse corespunzatoare compusului **42**, clorura de dimetoxitritil si **42**/ clorura de dimetoxitritil.

#### 4.2.4. Studii RMN

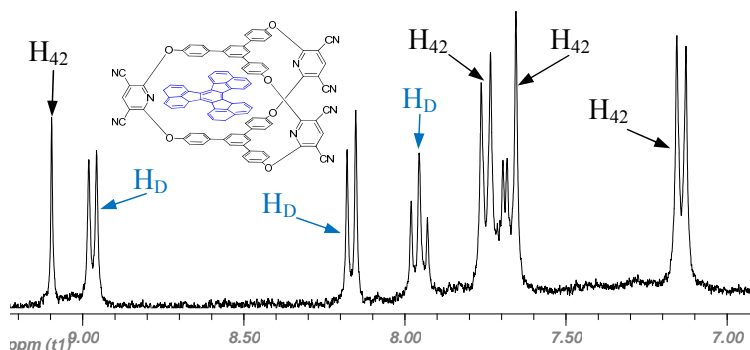
Studiile RMN au fost folosite pentru a investiga proprietatile de complexare ale moleculei cuscu **42**.

Complexul **43** este obtinut prin reactia dintre macrociclul **42** si decaciclena **31**, folosind ca si solvent DMSO-*d*<sub>6</sub> as solvent (**Schema 35**). Cristale potrivite pentru studii de raze X nu au fost obtinute.



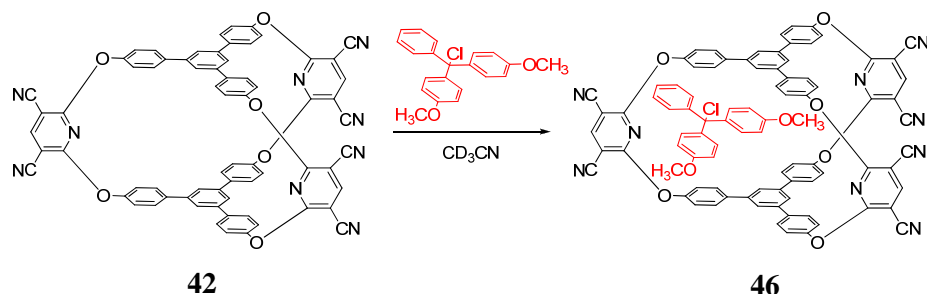
**Schema 35.**

Spectrul <sup>1</sup>NMR al **43** este presentat in **Figura 83**. Nu se observa schimbari in deplasarile chimice comparativ cu molecula cuscu **43** si decaciclen. Studii ulterioare sunt necesare pentru a confirma formarea complexului supramolecular **43**.



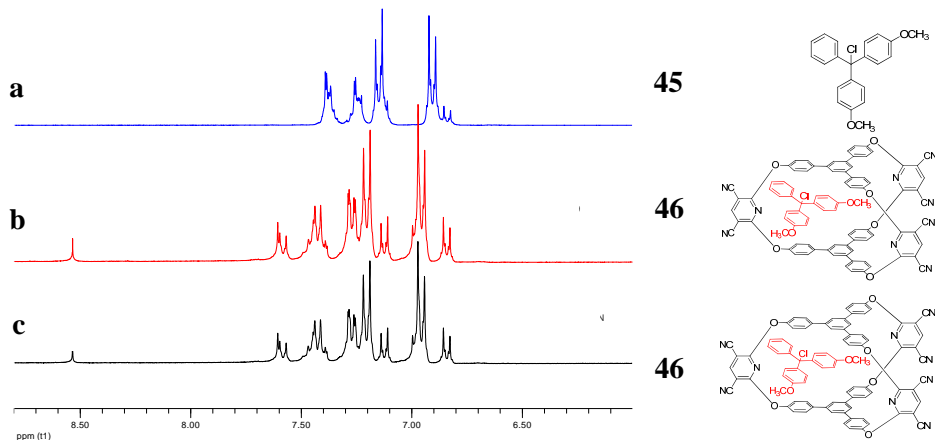
**Figura 83.** Fragment din spectrul  $^1\text{H}$  RMN (300 MHz,  $\text{DMSO}-d_6$ ) al complexului **43**.

Pentru a obtine complexul **46**, compusul **42** a fost implicat intr-o reactie cu clorura de 4,4'-dimetoxitritil **45** in acetonitril- $d_3$  la temperatura camerei (**Schema 37**). Compusul **45** a fost ales ca si moleculea oaspete datorita posibilitatii formarii de cationi de tritil in acetonitril.



**Schema 37.**

Spectrul  $^1\text{H}$  NMR prezentat in **Figure 85** nu furnizeaza suficiente informatii referitoare la formarea unui complex prin asocierea criptandului **42** cu clorura de dimetoxitritil. In acest sens, investigatii suplimentare (schimbarea conditiilor de reactie, RMN la temperatura variabila) vor fi efectuate.



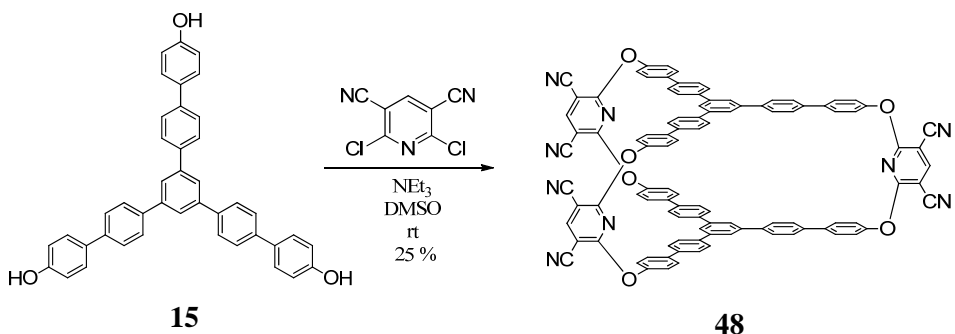
**Figura 85.** Fragment din spectrul  $^1\text{H}$  RMN ( $\text{CD}_3\text{CN}$ ) a) 4,4'-dimethoxytrityl chloride **45**, b) **46** după o ora, c) **46** după o zi.

Rezultatele obținute în urma studierii proprietăților de complexare ale molecule cusca **42** nu sunt suficiente pentru a confirma formarea unui complex supramolecular prin asocierea acestui criptand cu diferite molecule organice. Studii ulterioare sunt necesare, acestea implicând pe de o parte modificarea condițiilor de reacție, iar pe de alta parte utilizarea altor derivati organici planari ca și molecule oaspete.

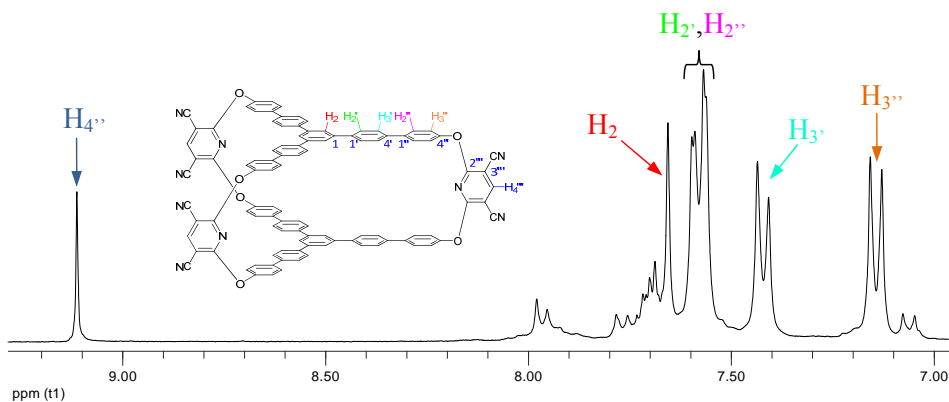
#### 4.3. MOLECULE CUSCA CE COTIN UNITATI TRIS(BIFENIL)BENZENICE

##### 4.3.1. Sinteza si analiza structurala

Compusul **15** a fost reacționat cu 2,6-dicloro-3,5-dianopiridina **41**, macrociclul **48** fiind obținut (**Schema 39**). Folosind carbonat de cesiu ca și bază, compusul tinta nu a fost obținut, materialele prime fiind recuperate. Având aceste rezultate, au fost folosite alte baze (triethylamina, diisopropyletilamina și DBU), în DMSO la  $80^\circ\text{C}$ , în toate cazurile rândamentul fiind același (25%).

**Schema 39.**

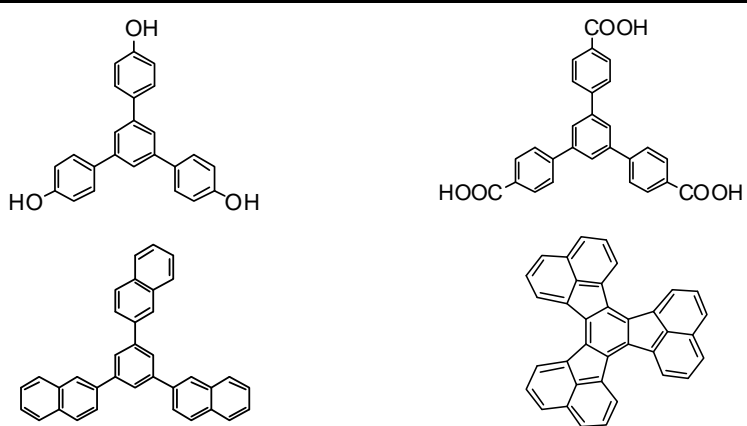
In zona aromatica a spectrului  $^1\text{H}$  RMN a compusului **48** a fost observata prezenta unei rezonante de tip singlet la 9.11 ppm, fiind atribuita protonului  $\text{H}_{4''}$  si un singlet la 7.65 ppm corespunzator protonului  $\text{H}_2$ . Protonii  $\text{H}_{3''}$  si  $\text{H}_3'$  genereaza un semnal de tip dublet la 7.42 ppm ( $^3J = 8.1$  Hz) respectiv 7.14 ppm ( $^3J = 8.7$  Hz). Doua semnale de tip dublet sunt suprapuse in intervalul 7.56 si 7.59 ppm, fiind atribuite protonilor  $\text{H}_2'$  si  $\text{H}_{2''}$  (**Figura 86**).

**Figura 86.** Fragment din spectrul  $^1\text{H}$  RMN (300 MHz,  $\text{DMSO}-d_6$ ) al compusului **48**.

#### 4.3.2. Studii de modelare moleculara

Pentru a efectua procesul de optimizare a moleculei compusului **48** s-a considerat o disponere paralela intre cele doua unitati tris(bifenil)benzenice. In **Tabelul 5** sunt prezentate moleculele oaspete folosite in studiile de complexare prin modelarea moleculara.

**Tabelul 5.** Molecule oaspete folosite in studiile de modelare moleculara.

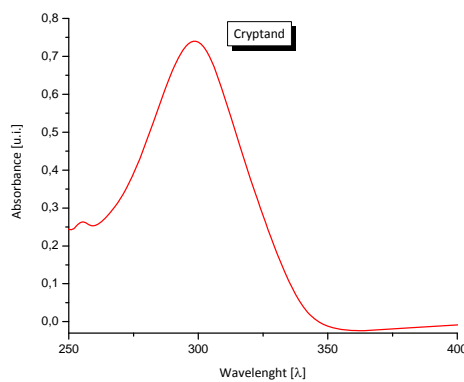
<b>Molecule oaspete</b>


#### 4.3.3. Studii de UV-Vis si fluorescenta

##### Analize UV-Vis

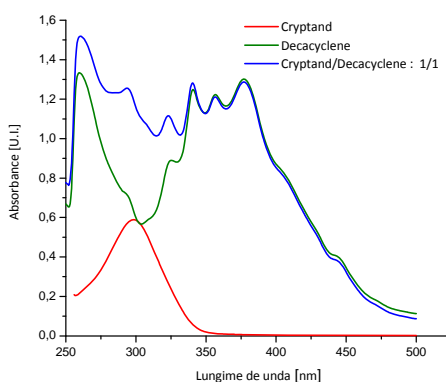
Pentru macrociclu si complexii acestuia, tranzitiile electronice au fost evidențiate prin radiatii in domeniul ultraviolet si vizibil. Spectrele UV-Vis au fost realizate folosind DMSO ca si solvent in concentratii de  $10^{-5}$ - $10^{-6}$  M.

Spectrul UV-Vis al criptandului **48** in DMSO este ilustrat in **Figura 91**, unde maximul de absorbtie a fost observat la  $\lambda = 299$  nm.

**Figure 91.** Spectrul UV-Vis al moleculei cusca **48** in DMSO.

Criptandul **48** a fost folosit in studiile UV-Vis ca si molecula gazda pentru 1,3,5-tris(4-hidroxifenil)benzen **11** sau decaciclen **31**.

Cand raportul molar dintre molecula gazda si oaspete a fost schimbat (1/1), o crestere a intensitatii benzilor de absorbtie a fost observata (**Figura 95**).

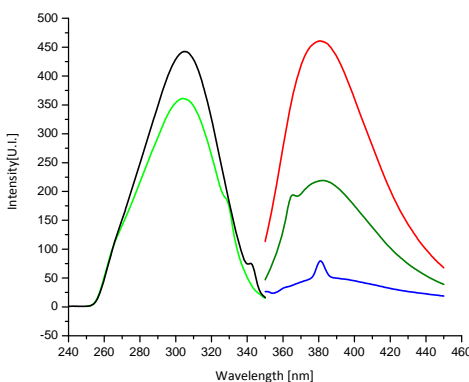


**Figura 95.** Spectre UV-Vis suprapuse pentru **48**, Decaciclen, **48**/Decaciclen (1/1) in DMSO.

Studiile prin spectroscopie UV-Vis (modificare majora a maximului de absorptie a complexului comparativ cu maximele de absorptie ale celor doua molecule implicate in reactia de complexare) indica formarea unui complex stabil prin asocierea moleculei de criptand **48** si decaciclen.

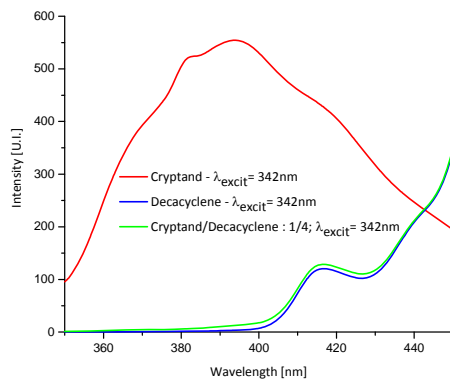
### Analize de fluorescenta

Proprietatile luminiscente ale moleculei **48** au fost de asemenea investigate. Spectrul de fluorescenta inregistrat utilizand diferite lungimi de unda de excitatie (**Figura 96**) evidențiaza un singur maxim de emisie la 382 nm.



**Figura 96.** Spectrul de fluorescent a criptandului **48** in DMSO.

Studiul de complexare a criptandului **48** cu decaciclen confirma rezultatele obtinute prin analizele UV-Vis. Astfel, prin asocierea celor doua molecule in raport molar de 1:4, fluorescenta emisa de catre criptand este stinsa (**Figura 98**). Acest rezultat este important, confirmand formarea unui complex supramolecular.

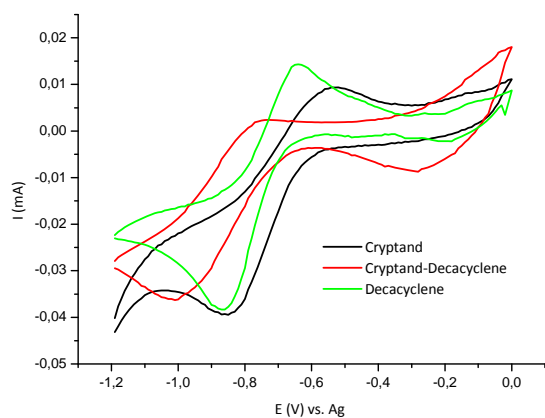


**Figura 98.** Spectrele de fluorescenta suprapuse ale criptandului **48**, Decaciclenului, Complexului **48**/Decaciclenului (1:4) in DMSO.

#### 4.3.4. Studii prin voltametrie ciclica

Studiile de voltametrie ciclica au fost investigate pentru a observa eventualele modificari ale potentialelor de oxidare si reducere ale sistemului cryptand **48**/molecule oaspete comparativ cu potențialele corespunzătoare moleculelor implicate în reacțiile de complexare.

Astfel, a fost realizat studiul proprietatilor complexante ale macrociclului **48** prin voltametrie ciclica in solutie de perclorat de tetrabutilamoniu, utilizand ca si molecule oaspete decaciclenul. In **Figura 101** se poate observa o deplasare a picului de oxidare corespunzator asocierii dintre criptand si decaciclen cu aproximativ 200 mV comparative cu cel corespunzator macrociclului **48** si cu 100 mV comparative cu picul de oxidare al decaciclenului, ceea ce demonstreaza ipoteza de captare a decaciclenului in cavitatea formata a moleculei cusca, cu formarea unui complex stabil.

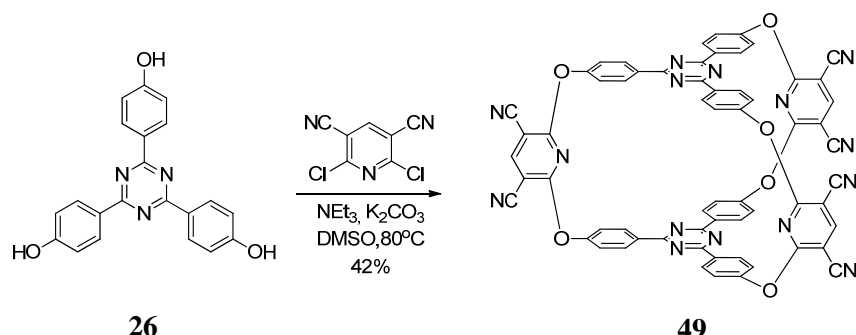


**Figura 101.** CV suprapuse ale compusului **48**, decaciclenului si complexului **48**/decaciclen in solutie 0.1 M de perclorat de tetrabutilamoniu in DMSO ( $v = 100$  mV/sec).

#### 4.4. MOLECULE CUSCA CU UNITATI 1,3,5-TRIS(FENIL)-2,4,6-TRIAZINICE

##### 4.4.1. Sintiza si analiza structurala

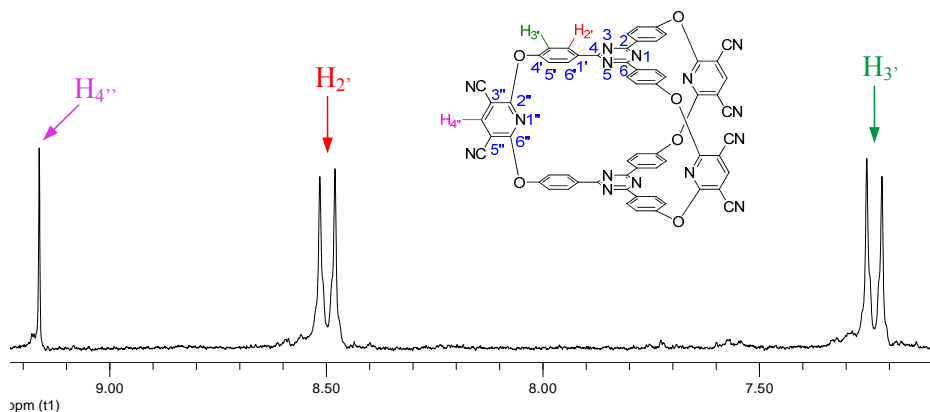
Macrociclus tridimensional **49** a fost obtinut cu un randament de 42% prin reactia dintre trifenolul **26** si 2,6-dicloropiridin-3,5-carbonitrilul **41** in DMSO (**Schema 40**).



## Schema 40.

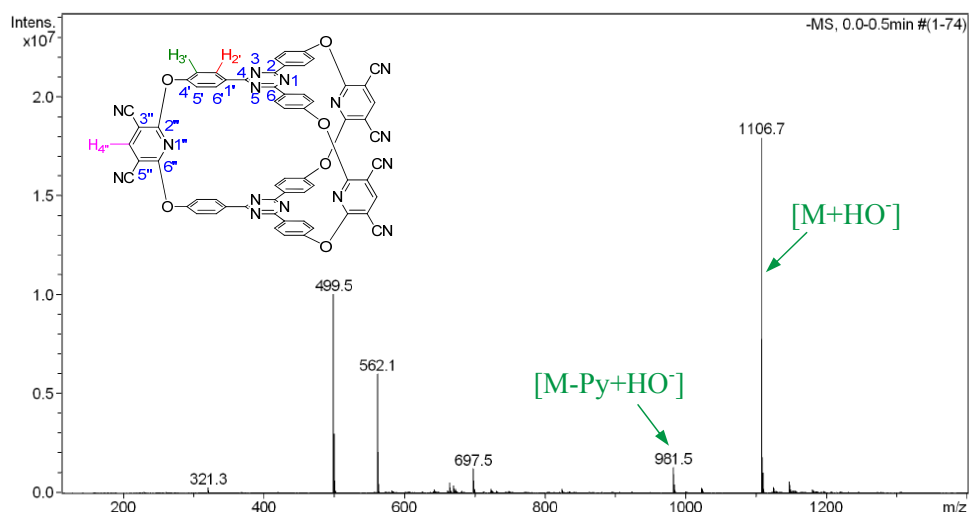
Structura compusului 49 a fost pusa in evidenta cu ajutorul spectroscopiei RMN ( $^1\text{H}$  NMR,  $^{13}\text{C}$  NMR, COSY and HSQC) si spectrometriei de masa.

Spectrul  $^1\text{H}$  RMN al criptandului **49** (Figura 103) prezinta un sistem AB corespunzator protonilor  $\text{H}_2$  și  $\text{H}_3$  [8.50 ppm ( $^3J = 8.75$  Hz), respectiv 7.23 ppm ( $^3J = 8.75$  Hz)] și un semnal singlet la 9.16 ppm care este atribuit protonilor  $\text{H}_4$ , din nucleul piridinic.



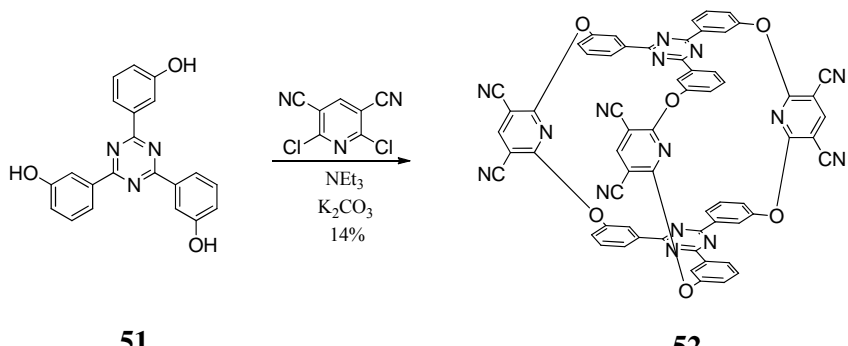
**Figura 103.** Fragment din spectrul  $^1\text{H}$  RMN (250 MHz,  $\text{DMSO}-d_6$ ) al compusului **49**.

Spectrometria de masa (ESI-) confirma structura moleculei **49**. Astfel, se poate evidenția picul molecular de la  $m/z$  1106.7 corespunzător pentru  $[M+HO^-]$ . Pierderea unei unități piridinice conduce la formarea unui fragment ionic la  $m/z$  981.5  $[M-Py+HO^-]$  (**Figura 107**).



**Figura 107.** Spectrul ESI– al macrociclului **49**.

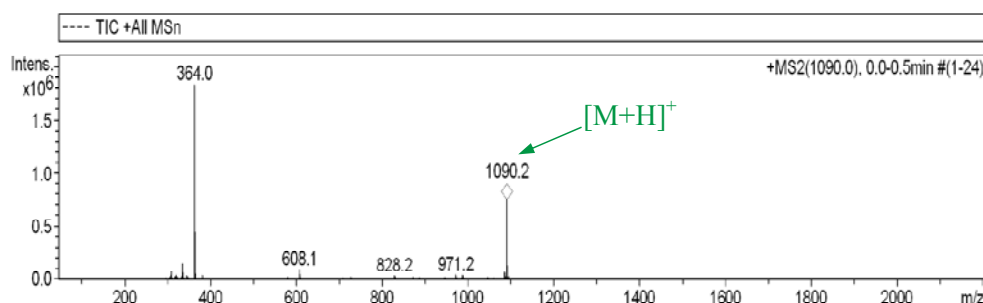
Compusul **51** a fost implicat intr-o reacție de macrociclizare cu derivatul piridinic **41** în DMSO, utilizând condiții bazice ( $\text{NEt}_3$  și  $\text{K}_2\text{CO}_3$ ), sintetizându-se compusul cvască **52** cu un randament scazut de 14%. (Schema **42**).



### Schema 42

Datele obtinute prin spectroscopie RMN nu sunt concludente, studii in acest sens fiind necesare (RMN la temperatura variabila, modificare solvent deuterat). Aceste analize vor fi efectuate ulterior.

Pentru a demonstra structura macrociclului **52**, am apelat la spectrometria de masa. Spectrul APCI+ (**Figura 108**) evidențiază un pic molecular la  $m/z$  1090.2, corespunzător speciei ionice protonate  $[M + H^+]$ .

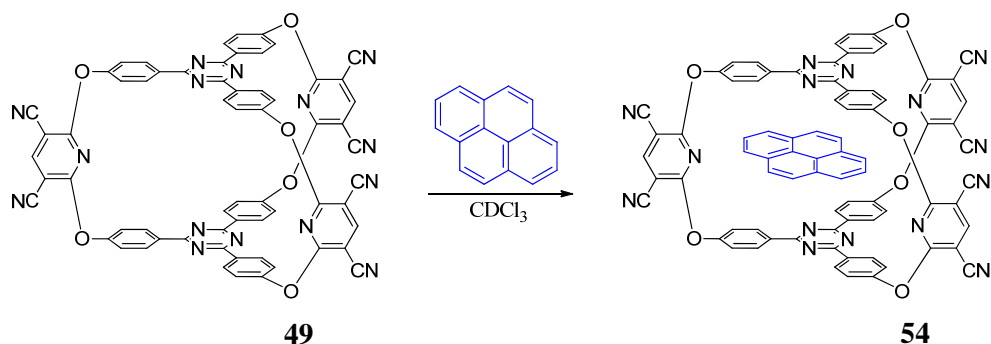


**Figura 108.** Spectrul APCI+ al compusului **52**.

#### 4.4.1. Studiul proprietatilor de complexare prin $^1\text{H}$ RMN

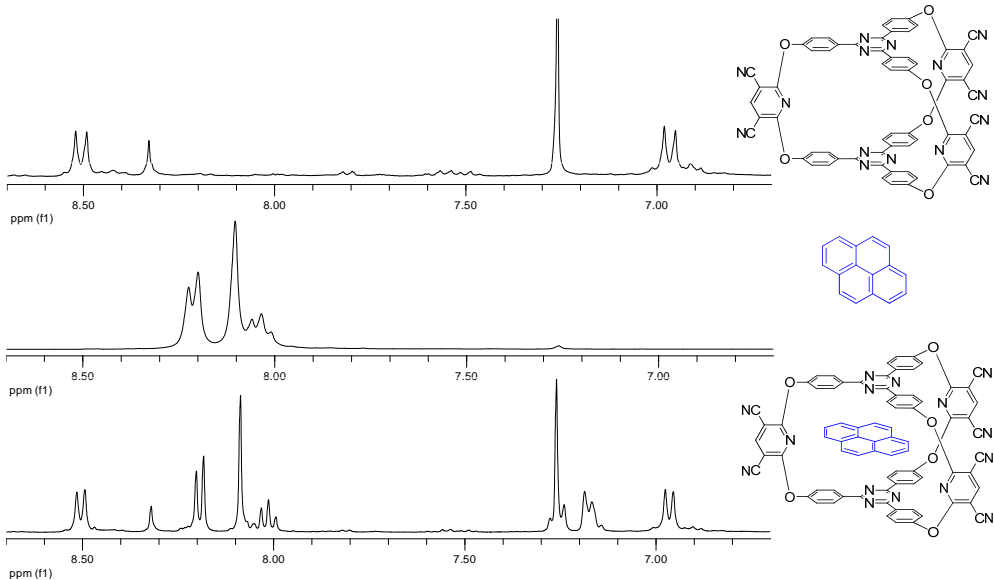
Pentru studiul proprietatilor de complexare ale moleculei cusca **49** prin analize spectroscopice de RMN, s-au luat în calcul două molecule oaspete (antracen și piren). Sintezele au fost efectuate la temperatura camerei în chloroform deuterat.

In cazul utilizarii pirenului ca si molecule oaspete, schema de reactie este prezentata mai jos (**Schema 44**).



**Schema 44.**

In spectrul  $^1\text{H}$  RMN (**Figura 110**) nu se observa nici o modificare in deplasarea chimica a semnalelor corespunzatoare celor două molecule implicate in reactia de complexare. Un nou set de semnale intre 7.17 ppm si 7.28 ppm poate fi totusi evidențiat.



**Figura 110.** Fragmente  $^1\text{H}$  RMN (300 MHz,  $\text{CHCl}_3$ ) ale moleculei cusca **49**, pirenului si acocierii **49**/piren.

Lipsa modificarilor deplasarilor chimice comparativ cu molecula gazada si moleculele oaspete poate fi explicata prin formarea unor complexe instabili (mobilitate ridicata a moleculelor oaspete). Se vor efectua studii prin spectroscopie RMN la temperatura joasa pentru a forta deplasarea echilibrului spre forma complexata a macrociclului.

## 5. CONCLUZII

- ◊ Pornind de la derivati comerciali ai acetofenonei, benzonitrilului si 2-acetilnaftalinei, au fost sintetizati **7** compusi aromatici trisubstituti, cu simetrie C<sub>3</sub> (**2**, **5**, **10**, **20**, **23**, **26** si **29**) printr-o reactie de trimerizare in conditii acide (acid triflic) in diferiti solventi. Compusul **29** a fost pentru prima data sintetizat si analizat in aceasta lucrare.
- ◊ S-a dezvolatat o noua metodologie mai putin toxiva (tetrahidrofuran si dimetilformamida in loc de benzen si N,N-formilpieridina) pentru sinteza a **2** derivati trisubstituti cu grupari formil (**3** si **6**); dintre acestia pentru compusul **6** nu exista date bibliografice.
- ◊ Au fost sintetizati **1** bifenilcetona si **2** derivati tris(bifenil)benzenici (**13**, **14** si **16**), prin reactii de cuplare Suzuki, conform datelor din literatura.
- ◊ Au fost obtinuti **4** derivati trihidroxilici (**7**, **11**, **15** si **17**) prin reactia de reduce a gruparilor carbonil sau prin reactia de demetilare cu clorhidrat de piridina, **3** dintre acestia nefiind cunoscuti in literatura (**7**, **11** si **17**).
- ◊ Derivatizarea derivatilor trihidroxilici prin reactii cu bromura de propargil, prin adaptarea unor proceduri descrise in literatura pentru compusi similari, conduce la obtinerea de **3** noi tripodanzi cu legaturi triple terminale (**8**, **18** si **27**). Randamentul reactiei de obtinere a compusului **27** a fost imbunatatit semnificativ (de la 8% la 42%) prin modificarea conditiilor de reactie.
- ◊ Urmarind o procedura tipica, a fost sintetizata **1** noua triazida (**24**).
- ◊ Precursorii obtinuti au fost caracterizati prin spectroscopie RMN mono si bidimensională, spectrometrie de masa si analize UV-Vis si de fluorescenta.
- ◊ 2,6-dichloropiridin-3,5-dicarbonitrilul **41** a fost pentru prima data studiat prin analize de difractie de raze X.
- ◊ Au fost sintetizati **2** noi molecule cusca izomere (**40a** and **40b**) cu unitati trisfenilbenzenice ca si „capace” si unitati 3-nitropiridinice ca si brate, dar nu au fost inca gasite metodele ideale pentru a fi separate.
- ◊ A fost sintetizati si analizat complet **1** nou macrociclu (**42**) cu unitati trisfenilbenzenice conectate prin unitati piridin-3,5-dicarbonitrilice. Au fost efectuate studii prin spectroscopie RMN, Spectrometrie de masa (APCI-), Uv-Vis, fluorescenta si cristalografie de raze X. Au fost investigate proprietatile de complexare ale moleculei cusca **42** cu diferiti compusi organici neutri prin studii de modelare moleculara, RMN, UV-Vis si fluorescenta.
- ◊ **1** noua molecula cusca cu unitati tris(bifenil)benzenice **48** a fost sintetizata si caracterizata prin spectroscopie RMN si proprietatile de complexare au fost investigate prin studii de modelare moleculara, UV-Vis, fluorescenta si voltametrie ciclica.
- ◊ Avanda ca si materii de pornire derivatii triazinici, au fost sintetizate **2** noi molecule cusca (**49** si **52**). Compusul **49** a fost caracterizat prin spectroscopie RMN si prin spectrometrie de masa. Au fost investigate proprietatile de complexare ale macrociclului

**49** cu ajutorul spcroskopiei RMN. Formarea macrociclului 52 a fost demonstrata prin spectrometrie de masa (ESI-).

◊ Studiile de complexare au domonstrat ca moleculele cusca sunt ideale pentru a forma complecsi cu diferite molecule oaspete, dar complecsii supramoleculari nu au putut fi izolati si nu s-a putut calcula o constanta de asociere.

**Cuvinte cheie:** molecula cusca, complexare, gazda-oaspete, criptand, UV-Vis, fluorescenta, voltametrie ciclica, trisfenilbenzen, tris(bifenil)benzen, 1,3,5-triazina, complecsi supramoleculari.

